ジャガイモヒゲナガアブラムシに対する高 CO2 の影響

木文 11 ページ参昭



①ジャガイモヒゲナガアブラムシ無翅胎生雌虫

②右:2003年のダイズ生育状況 左は根粒菌を持たないT201系統,右は根粒菌を 持つT202系統.上は通常のCO2濃度区(350ppm) 下は高濃度にCO2を放出させた区(550ppm).



T201 350ppm T201 550ppm

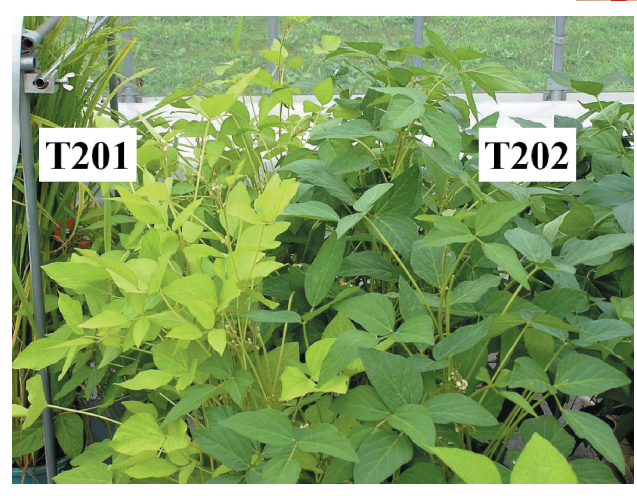


T202 350ppm T202 550ppm



比べて葉色が淡い.







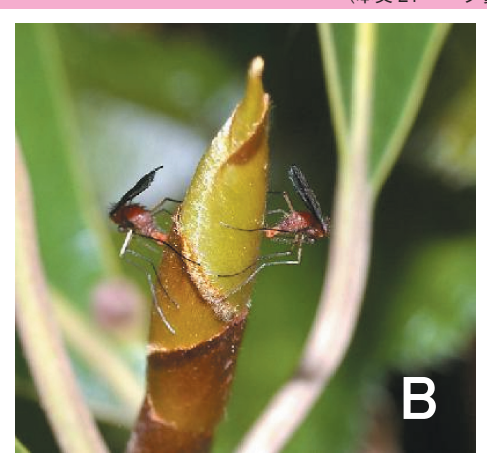
③ジャガイモヒゲナガアブラムシ有翅胎生雌虫 ④左:2004 年のダイズ生育状況 左は根粒菌を持たない T201 系統で、右の T202 系統に

榊原充隆氏原図

植食性昆虫の出現期と寄主植物のフェノロジーとの同時性ータマバエの野外調査から見えた同時性のずれとその影響ー

(本文 21 ページ参照)





シロダモタマバエの虫えい(A)とシロダモの新芽に産卵中の♀(B).

キュウリホモプシス根腐病抵抗性台木の検索と台木適性

(木文 50 ページ参昭)



①収穫初期の萎凋症状(7月)



②萎凋株の枯死 (9月)



③偽子座(Pseudostromata:黒変部位)が形成された 被害株の根



④ホモプシス根腐病抵抗性検定試験における根の褐変程度 (A) キュウリ・夏ばやし (無接種), (B) キュウリ・夏ばやし (接種), (C) マクワウリ・南部金マクワ (接種), (D) 雑種カボチャ・新土佐 (接種), (E) クロダネカボチャ・クロダネ (接種), (F) トウガン・長トウガン (接種)

岩舘 康哉氏原図

タバココナジラミのバイオタイプ B と Q における 寄主範囲および発育特性の比較

(本文 56 ページ参照)



①サークル状に産み付けられた卵およびふ化した幼虫



②累代飼育しているタバココナジラミ 卵、1~4齢幼虫、成虫および羽化後の抜け殻が確認できる 飯田 博之氏原図